

سنة ١٤٤٠ هـ



دانشگاه الزهرا (س)

دانشکده علوم پایه

پایان نامه

جهت اخذ درجه کارشناسی ارشد

رشته شیمی، گرایش تجزیه

عنوان

بررسی الکتروشیمیایی برهم کنش سیپروفلوکساسین - DNA در سطح

الکتروود کربن شیشه‌ای اصلاح شده با ذرات نانوتیوپ چند دیواره کربن

استاد راهنما

پروفسور لیدا فتوحی

دانشجو

زینب عطوفی

مهر ۱۳۹۱

چکیده

برهم‌کنش سیپروفلوکساسین (Cf) با DNA دو رشته‌ای با روش‌های ولتامتری چرخه‌ای در سطح MWCNT-DNA-GCE، اسپکتروسکوپی نشر فلورسانس و اسپکتروسکوپی UV-vis مورد مطالعه قرار گرفت. حضور DNA موجب کاهش جریان و یک جابه‌جایی مثبت در پتانسیل پیک اکسیداسیون Cf می‌شود که نشان دهنده‌ی برهم‌کنش جایگیری بین‌لایه‌ای است. ثابت سرعت هتروژن (k_s) و ضریب انتقال الکترون (α) برای Cf آزاد و پیوند شده به DNA محاسبه شدند. داده‌های اسپکتروسکوپی UV ثابت کردند که برهم‌کنش بین Cf و DNA از نوع جایگیری بین‌لایه‌ای است. فلورسانس نشر شده توسط Cf در 420 nm در بافر برایتون-رابینسون (0.04 M، pH=7)، زمانی که DNA افزوده می‌شود، می‌تواند خاموش شود. مکانیسم خاموشی فلورسانس، خاموشی استاتیک بود و ثابت اتصال و تعداد مکان اتصال از نمودار استرن-والمر به دست آمدند. منحنی کالیبراسیون بین F_0/F و غلظت DNA در دو گستره‌ی دینامیک 0.08-96 و $0.223-96 \text{ mg L}^{-1}$ با حد تشخیص 0.33 mg L^{-1} به دست آمد. این روش به‌طور موفقیت آمیزی برای آنالیز DNA در نمونه‌ی سرم مورد استفاده قرار گرفت. کلمات کلیدی: سیپروفلوکساسین، DNA، نانولوله‌های کربنی چند دیواره، ولتامتری چرخه‌ای، فلورسانس.

فهرست مطالب

صفحه

عنوان

فصل اول: مقدمه

- ۱-۱ مقدمه..... ۲
- ۲-۱ حالت‌های اتصال مولکول‌ها به DNA ۲
- ۳-۱ تاریخچه‌ی کوئینولون‌ها ۴
- ۴-۱ مکانیسم فعالیت کوئینولون‌ها..... ۶

فصل دوم: بررسی منابع

- ۱-۲ بررسی منابع..... ۹

فصل سوم: تئوری

- ۱-۳ الکترودهای اصلاح شده..... ۲۵
- ۲-۳ بیوسنسورهای الکتروشیمیایی..... ۲۷
- ۳-۳ نانولوله‌های کربنی..... ۳۰
- ۴-۳ اسپکتروسکوپی فلورسانس..... ۳۲
- ۱-۴-۳ خاموشی فلورسانس..... ۳۳
- ۱-۴-۳-۱ خاموشی دینامیک (برخوردی)..... ۳۴
- ۲-۴-۳-۱ خاموشی استاتیک..... ۳۴
- ۳-۴-۳-۱ تلفیق خاموشی دینامیک و استاتیک..... ۳۵

فصل چهارم: تجربی

- ۱-۴ مواد شیمیایی..... ۳۷

۳۷ دستگاهوری	۲-۴
۴۰ مراحل انجام کار	۳-۴
۴۰ تهیه محلول ها	۱-۳-۴
۴۲ ولتاژمتری چرخه ای	۲-۳-۴
۴۲ UV-vis اسپکتروسکوپی	۳-۳-۴
۴۲ فلورسانس اسپکتروسکوپی	۴-۳-۴
۴۲ سیپروفلوکساسین با DNA	۴-۴
۴۲ MWCNT-DNA-GCE در سطح	۱-۴-۴
۴۴ اثر pH	۲-۴-۴
۴۶ مطالعات اثر سرعت روبش	۳-۴-۴
۵۱ محاسبه ی ضرایب انتقال الکترون	۱-۳-۴-۴
۵۳ E ⁰ به دست آوردن	۲-۳-۴-۴
۵۵ محاسبه ی k _s	۳-۳-۴-۴
۵۶ بررسی نفوذی یا جذبی بودن فرایندهای انتقال الکترون	۴-۳-۴-۴
۶۰ DNA ثابت اتصال سیپروفلوکساسین با	۴-۴-۴
۶۳ مطالعات طیفسنجی	۵-۴
۶۳ UV-vis اسپکتروسکوپی	۱-۵-۴
۶۶ فلورسانس اسپکتروسکوپی	۲-۵-۴
۶۷ مکانیسم خاموشی	۱-۲-۵-۴
۶۹ DNA و ضریب استوکیومتری	۲-۲-۵-۴
۷۱ DNA با استفاده از اسپکتروسکوپی فلورسانس	۶-۴

۷۱.....۱-۶-۴ بررسی تأثیر pH

۷۲.....۲-۶-۴ بررسی تأثیر قدرت یونی

۷۳.....۳-۶-۴ رسم منحنی کالیبراسیون

۷۶.....۴-۶-۴ حداقل مقدار قابل تشخیص (LOD)

۷۷.....۵-۶-۴ تکرارپذیری

۷۹.....۶-۶-۴ بررسی اثر مزاحمت

۸۱.....۷-۶-۴ تعیین مقدار DNA در نمونه‌ی حقیقی

فصل پنجم: نتیجه‌گیری

۸۳.....۱-۵ نتیجه‌گیری

۸۷.....فهرست منابع و مآخذ

فهرست جدول‌ها

عنوان	صفحه
جدول ۱-۴ نتایج حاصل از ولتاموگرام‌های چرخه‌ای سیپروفلوکساسین 0.8 mM در سرعت‌های روبش مختلف در سطح MWCNT-GCE.....	۴۹
جدول ۲-۴ نتایج حاصل از ولتاموگرام‌های چرخه‌ای سیپروفلوکساسین 0.8 mM در سرعت‌های روبش مختلف در سطح MWCNT-DNA-GCE.....	۵۰
جدول ۳-۴ نتایج حاصل از مطالعات اثر سرعت روبش در سطح MWCNT-GCE و MWCNT-DNA-GCE.....	۵۹
جدول ۴-۴ نتایج حاصل از تکرار اندازه‌گیری DNA در محلول سیپروفلوکساسین mM 0.014	۷۹
جدول ۵-۴ نتایج حاصل از بررسی گونه‌های مزاحم.....	۸۰
جدول ۶-۴ نتایج مربوط به تعیین DNA در نمونه‌ی حقیقی.....	۸۱
جدول ۱-۵ ارقام تجزیه‌ای شایسته.....	۸۴
جدول ۲-۵ مقایسه روش پیشنهادی برای اندازه‌گیری DNA با دیگر روش‌های گزارش شده.....	۸۵

فهرست شکل‌ها

عنوان	صفحه
شکل (۱-۱) نمای شیارهای کوچک و بزرگ DNA.....	۳
شکل (۲-۱) نمای جایگیری بین لایه‌ای مولکول در DNA.....	۴
شکل (۳-۱) ساختارهای تعدادی از کوئینولون‌ها.....	۵
شکل (۴-۱) ساختار مولکولی سیپروفلوکساسین.....	۶
شکل (۱-۳) شمایی از یک بیوسنسور و اجزای آن.....	۲۸
شکل (۲-۳) نمایی از طراحی بیوسنسور های DNA جهت بررسی برهم کنش دارو-DNA.....	۳۰
شکل (۳-۳) نمایی از (a) نانولوله‌ی کربنی تک دیواره و (b) نانولوله‌ی کربنی چند دیواره.....	۳۱
شکل (۱-۴) نمای دستگاه Metrohm Model 746 VA Trace Analyzer.....	۳۸
شکل (۲-۴) نمای دستگاه Perkin Elmer Model Lambda 35.....	۳۹
شکل (۳-۴) نمای دستگاه Varian Model Cary Eclipse.....	۳۹
شکل (۴-۴) نمای متر pH Metrohm Model 744.....	۳۹
شکل (۵-۴) نمای ترازوی تجزیه‌ای Precisca.....	۳۹
شکل (۶-۴) نمای دستگاه Ultrasonic Model elma Sonic.....	۴۰
شکل (۷-۴) ولتاموگرام‌های چرخه‌ای سیپروفلوکساسین ۰/۸ mM در بافر برایتون-رابینسون M.....	
شکل (۸-۴) (a) در سطح MWCNT-GCE، pH=۷، ۰/۰۴ (b) در سطح MWCNT-DNA-GCE.....	
شکل (۹-۴) (c) محلول شاهد در سطح MWCNT-DNA-GCE.....	۴۴

- شکل ۴-۸) ولتاموگرام‌های چرخه‌ای سیپروفلوکساسین ۰/۸ mM در pH های (a) ۲/۰ (b) ۴/۰
 (c) ۴/۵ (d) ۵/۰ (e) ۵/۵ (f) ۶/۰ (g) ۶/۵ (h) ۷/۰ (i) ۷/۵ (j) ۸/۰ (k) ۱۰/۰، در سطح MWCNT-
 DNA-GCE، سرعت روبش 50 mV s^{-1} ۴۵
- شکل ۴-۹) نمودار پتانسیل بر حسب pH بر اساس شرایط ذکر شده در شکل ۴-۸ ۴۶
- شکل ۴-۱۰) مکانیسم اکسیداسیون سیپروفلوکساسین ۴۶
- شکل ۴-۱۱) ولتاموگرام‌های چرخه‌ای محلول ۰/۸ mM سیپروفلوکساسین در بافر ۰/۰۴ M
 برای تون-رابینسون $\text{pH}=7$ در سطح MWCNT-GCE در سرعت‌های روبش (a) ۱۰ (b) ۲۰
 (c) ۳۰ (d) ۴۰ (e) ۵۰ (f) ۶۰ (g) ۸۰ (h) 100 mV s^{-1} ۴۷
- شکل ۴-۱۲) ولتاموگرام‌های چرخه‌ای محلول ۰/۸ mM سیپروفلوکساسین در بافر ۰/۰۴ M
 برای تون-رابینسون $\text{pH}=7$ در سطح MWCNT-DNA-GCE در سرعت‌های روبش (a) ۱۰
 (b) ۲۰ (c) ۳۰ (d) ۴۰ (e) ۵۰ (f) ۶۰ (g) ۸۰ (h) 100 mV s^{-1} ۴۸
- شکل ۴-۱۳) نمودار پتانسیل بر حسب لگاریتم سرعت روبش بر اساس شرایط ذکر شده در شکل ۴-
 ۱۱ ۵۲
- شکل ۴-۱۴) نمودار پتانسیل بر حسب لگاریتم سرعت روبش بر اساس شرایط ذکر شده در
 شکل ۴-۱۲ ۵۳
- شکل ۴-۱۵) نمودار پتانسیل بر حسب سرعت روبش بر اساس شرایط ذکر شده در شکل ۴-
 ۱۱ ۵۴
- شکل ۴-۱۶) نمودار پتانسیل بر حسب سرعت روبش بر اساس شرایط ذکر شده در شکل ۴-
 ۱۲ ۵۵
- شکل ۴-۱۷) نمودار جریان بر حسب سرعت روبش بر اساس شرایط ذکر شده در شکل ۴-۱۱ ۵۸
- شکل ۴-۱۸) نمودار جریان بر حسب سرعت روبش بر اساس شرایط ذکر شده در شکل ۴-۱۲ ۵۹

- شکل ۴-۱۹) ولتاموگرام های چرخه ای غلظت های مختلف محلول سیپروفلوکساسین در بافر
برایتون-رابینسون 0.04 M و $\text{pH}=7$ در سطح MWCNT-DNA-GCE (a) 0.2 ، (b) 0.4 ،
شکل ۴-۲۰) نمودار جریان بر حسب غلظت سیپروفلوکساسین بر اساس شرایط ذکر شده در شکل
۴-۱۹..... 50 mV s^{-1} در سرعت روبش $1/4\text{ mM}$ (g) $1/2$ ، (f) $1/0$ ، (e) 0.8 ، (d) 0.6 ، (c) 0.4 ،
شکل ۴-۲۱) نمودار C/I بر حسب غلظت سیپروفلوکساسین بر اساس شرایط ذکر شده در شکل
۴-۱۹.....
شکل ۴-۲۲) طیف جذبی محلول DNA $3/2 \times 10^{-5}\text{ M}$ در بافر برایتون-رابینسون 0.04 M ،
..... $\text{pH}=7$
شکل ۴-۲۳) طیف های جذبی محلول سیپروفلوکساسین 0.14 mM در بافر برایتون - رابینسون
 0.04 M ، $\text{pH}=7$ در حضور غلظت های مختلف DNA (a) 0 ، (b) 0.44×10^{-5} ، (c) 0.86×10^{-5} ،
..... $2/12 \times 10^{-5}\text{ M}$ (f) $1/70 \times 10^{-5}$ ، (e) $1/12 \times 10^{-5}$ ، (d) $1/12 \times 10^{-5}$ ،
شکل ۴-۲۴) طیف های فلورسانس سیپروفلوکساسین 0.14 mM در بافر برایتون-رابینسون M
..... 6 mg L^{-1} با غلظت DNA (a) $\text{pH}=7$ ، (b) در غیاب و (b) در حضور
شکل ۴-۲۵) طیف های فلورسانس سیپروفلوکساسین 0.14 mM در حضور غلظت های مختلف
DNA (a) 0 ، (b) 0.44 ، (c) 0.66 ، (d) 0.76 ، (e) 0.98 ، (f) $1/20$ ، (g) $1/42$ ، (h) $1/64$ ، (i) 10^{-5}
..... $1/86 \times 10$
شکل ۴-۲۶) نمودار استرن-والمر سیپروفلوکساسین 0.14 mM در حضور غلظت های مختلف
.....DNA
شکل ۴-۲۷) نمودار لگاریتم $[(F_0-F)/F]$ بر حسب لگاریتم غلظت DNA.....

- شکل ۴-۲۸) نمودار نسبت شدت‌های فلورسانس محلول سیپروفلوکساسین 0.014 mM در غیاب و حضور DNA، بر حسب pH..... ۷۱
- شکل ۴-۲۹) نمودار نسبت شدت‌های فلورسانس محلول سیپروفلوکساسین 0.014 mM در غیاب و حضور DNA، بر حسب قدرت یونی..... ۷۲
- شکل ۴-۳۰) طیف‌های فلورسانس محلول سیپروفلوکساسین 0.014 mM در حضور غلظت‌های مختلف DNA..... ۷۴
- شکل ۴-۳۱) نمودار نسبت F_0/F محلول سیپروفلوکساسین 0.014 mM ، بر حسب غلظت DNA..... ۷۵
- شکل ۴-۳۲) نمودار کالیبراسیون در محدوده‌ی غلظتی $0.8-96\text{ mg L}^{-1}$ ۷۵
- شکل ۴-۳۳) نمودار کالیبراسیون در محدوده‌ی غلظتی $96-223\text{ mg L}^{-1}$ ۷۶
- شکل ۴-۳۴) طیف‌های فلورسانس محلول سیپروفلوکساسین 0.014 mM با ۱۱ بار تکرار..... ۷۷
- شکل ۴-۳۵) طیف‌های فلورسانس محلول سیپروفلوکساسین 0.014 mM در غیاب و حضور محلول DNA با $3/19\text{ mg L}^{-1}$ با ۱۱ بار تکرار..... ۷۸

فصل اول

مقدمه

۱-۱ مقدمه

در سال‌های اخیر مطالعه‌ی برهم‌کنش DNA با مولکول‌های کوچک مثل داروها، رنگ‌های آلی و فلزات بسیار مورد توجه قرار گرفته است. مطالعه‌ی این موضوع علاوه بر فهم مکانیسم برهم‌کنش مولکول‌ها با DNA، می‌تواند فرایند توسعه و کشف داروهایی که DNA را مورد هدف قرار می‌دهند سرعت ببخشد. نوکلئیک اسیدها بیومولکول‌های اساسی حیات هستند. تعداد زیادی داروی ضد سرطان شناخته شده‌اند که به منظور اجرای فعالیت بیولوژیکی شان با DNA برهم‌کنش می‌کنند [۱ و ۲].

برهم‌کنش DNA با داروها با روش‌های مختلفی مانند اسپکتروفلوریمتری [۳]، اسپکتروسکوپی UV-vis [۴]، رزونانس مغناطیسی هسته [۵]، لومینسانس [۶]، FT-IR [۷]، الکتروفورز کاپیلاری و روش‌های الکتروآنالیزی مورد بررسی قرار گرفته‌اند [۸ و ۹]. روش‌های الکتروشیمیایی در گذشته به منظور مطالعه‌ی برهم‌کنش‌ها مورد استفاده قرار می‌گرفتند. سیگنال‌های ولتامتری مشاهده شده به طور کلی اطلاعات مفیدی در مورد مکانیسم برهم‌کنش، ثابت اتصال و نیروهای اتصال در اختیار می‌گذارند. در این زمینه استفاده از بیوسنسورهای الکتروشیمیایی DNA، روشی سریع و ارزان جهت سنجش برهم‌کنش داروها با DNA محسوب می‌شوند [۱۰ و ۱۱].

۲-۱ حالت‌های اتصال مولکول‌ها به DNA

در حالت کلی چهار حالت اتصال برای داروها با DNA وجود دارد:

۱- اتصال از طریق شیارهای کوچک^۱

۲- اتصال از طریق شیارهای بزرگ^۲

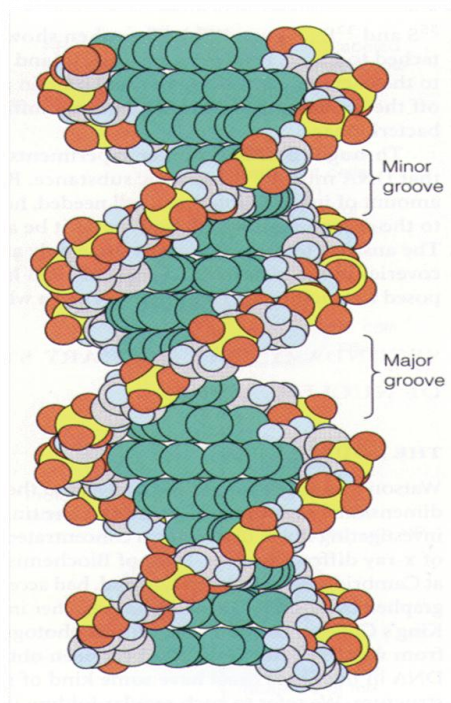
^۱ - Minor groove

^۲ - Major groove

۳- اتصال سطحی یا الکتروستاتیک^۱

۴- جایگیری بین لایه‌ای^۲

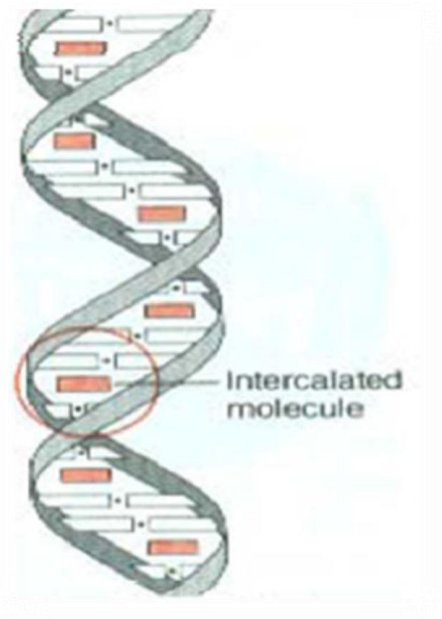
در حالت اتصال از طریق شیپارهای کوچک (شکل ۱-۱) مولکول بین دیواره‌های باریک شیپار جای می‌گیرد و از طریق پیوندهای هیدروژنی و برهم‌کنش واندروالس پایدار می‌شود. شیپارهای کوچک انعطاف بیشتری برای جای دادن مولکول‌ها دارند. بیش‌تر پروتئین‌ها از طریق شیپارهای بزرگ به DNA متصل می‌شوند. در روش اتصال سطحی برهم‌کنش با اسکلت فسفات از طریق برهم‌کنش الکتروستاتیک، انجام می‌شود. این اتصال از نوع غیر ویژه است. در جایگیری بین لایه‌ای سیستم‌های حلقوی آروماتیک وارد ماریپچ DNA می‌شوند و بین دو باز همسایه قرار می‌گیرند (شکل ۱-۲). این اتصال با برهم‌کنش π - π بین حلقه‌های آروماتیک پایدار می‌شود.



شکل ۱-۱) نمای شیپارهای کوچک و بزرگ DNA

¹ - Electrostatic

² - Intercalation



شکل ۱-۲) جایگیری بین‌لایه‌ای مولکول در DNA

۱-۳) تاریخچه‌ی کوئینولون‌ها^۱

پیدایش کوئینولون‌ها با کشف نالیدیکسیک^۲ اسید توسط لِشر^۳ در سال ۱۹۶۲ آغاز شد. این کشف بسیار مهم فقط یک اتفاق بود. زمانی که لِشر محصولات جانبی حاصل از سنتز کلروکوئین^۴ را که یک داروی ضد مالاریا بود بررسی می‌کرد، متوجه شد که این محصول جانبی خاصیت ضد میکروبی قابل توجهی دارد. در اواسط دهه‌ی ۸۰، فلوئور دار شدن (در موقعیت ۶) موجب تولید نسل دوم کوئینولون‌ها به نام فلوئوروکوئینولون‌ها شد. فلوئوروکوئینولون‌ها از مزیت نفوذ عالی در بافت‌ها برخوردارند. در دهه‌ی ۹۰ نسل سوم کوئینولون‌ها به وجود آمدند که این کوئینولون‌ها دارای سیستم‌های حلقوی طویل هستند و تعدادی از آن‌ها خاصیت ضد سرطانی دارند [۱۲]. کوئینولون‌های نسل اول در برابر باکتری‌های هوازی گرم مثبت فعال‌تر از گرم

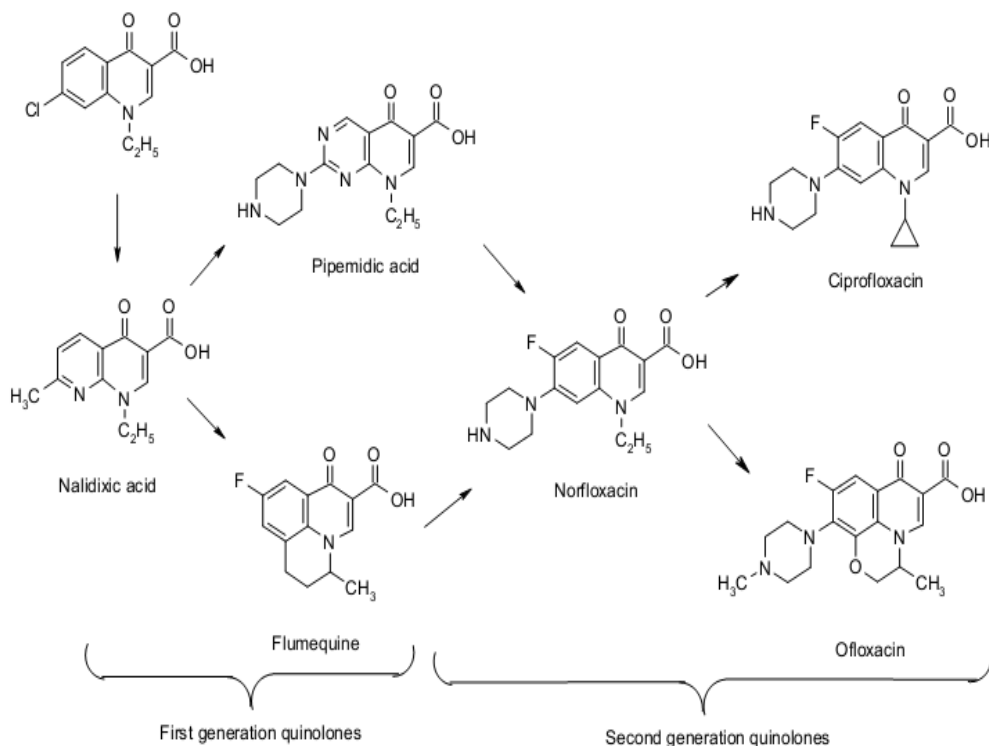
^۱-Quinolones

^۲-Nalidixic Acid

^۳-Leshner

^۴-Chloroquine

منفی‌ها هستند. نسل دوم کوئینولون‌ها در مقایسه با نسل اول در برابر باکتری‌های هوازی گرم مثبت فعال‌تر و در برابر گرم منفی‌ها هم فعال هستند ولی در مقابل باکتری‌های بی‌هوازی ضعیف عمل می‌کنند. نسل سوم کوئینولون‌ها در برابر باکتری‌های هوازی گرم مثبت و منفی و نیز بی‌هوازی‌ها عملکرد قابل قبولی دارند [۱۳].

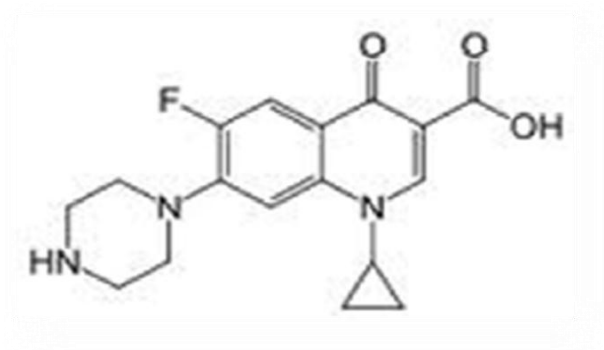


شکل ۱-۳) ساختارهای تعدادی از کوئینولون‌ها

سیپروفلوکساسین (۱-سیکلوپروپیل-۶-فلوئورو-۴-اکسو-۷-پی‌پرازیل-۱-ایل)-کوئینولین-
 ۳-کربوکسیلیک اسید) با فرمول شیمیایی $C_{17}H_{18}FN_3O_3$ و وزن مولکولی ۳۳۱/۳۴، یک
 آنتی‌بیوتیک سنتزی از دسته‌ی فلوئوروکوئینولون‌ها می‌باشد. از این دارو در درمان عفونت‌های
 مزمن ادراری پیچیده و پیلونفریت، عفونت‌های مزمن تنفسی، عفونت‌های پوستی، استخوانی و

مفصلی، سوزاک، اسهال عفونی، سینوزیت حاد و تب حصبه و در برخی موارد محدود در دامپزشکی استفاده می‌شود [۱۴].

این دارو در سراسر جهان با بیش از سیصد نام تجاری مختلف از جمله: Bay Cip، Prociflor، Ciproxin، Cipro XR، Cipro، Ciflox، Ciloxan و... به بازار عرضه می‌شود.



شکل (۴-۱) ساختار مولکولی سیپروفلوکساسین

۴-۱ مکانیسم فعالیت کوئینولون‌ها

DNA کروموزومی به منظور جای گرفتن داخل هسته‌ی سلول به دور خود می‌پیچد و اصطلاحاً سوپر پیچه^۱ تشکیل می‌دهد. در مرحله‌ی رونوشت برداری DNA، این سوپرپیچه باز می‌شود، رونوشت برداری انجام شده و دوباره رشته‌ی باز شده بسته می‌شود و پیچش مجدد انجام می‌شود. باز شدن DNA برای رونوشت برداری، بسته شدن و پیچش مجدد آن توسط دسته‌ای از توپوایزومرازها^۲ به نام DNA gyrase انجام می‌گیرد، که برای این منظور DNA gyrase به DNA متصل می‌شود و تشکیل کمپلکس می‌دهد. این آنزیم هدف اصلی درون

^۱-Supercoil

^۲-Topoisomerase

سلولی کوئینولون‌ها است. کوئینولون به کمپلکس DNA-DNA gyrase متصل می‌شود و مانع از بسته شدن مجدد رشته‌ی DNA جدا شده (در مرحله‌ی رونوشت برداری) می‌شود و به این ترتیب با باکتری مبارزه می‌کند [۱۲].

در این مطالعه به منظور بررسی برهم‌کنش سیپروفلوکساسین با DNA از روش‌های ولتامتری چرخه‌ای، اسپکتروسکوپی UV-vis و فلورسانس استفاده شد.

فصل دوم

بررسی منابع

۱-۲ بررسی منابع

در سال ۱۹۹۷ برت^۱ کاهش الکتروشیمیایی مترونیدازول^۲ را در سطح الکتروود کربن شیشه-ای (GCE) اصلاح شده با DNA مورد بررسی قرار داد. پتانسیل کاهش مترونیدازول در سطح الکتروود اصلاح شده با DNA در مقایسه با الکتروود عریان منفی تر به دست آمد. در محیط‌های اسیدی وابستگی پتانسیل به pH مشاهده شد و مکانیسم کاهش، یک الکترون به ازای یک پروتون در نظر گرفته شد، در حالی که برای محلول‌های خنثی و قلیایی هیچ وابستگی با pH مشاهده نشد. با استفاده از این الکتروودها در pH=۴/۵ و ۲ دقیقه پیش‌تغلیظ حد تشخیص مقدار $1/67 \mu\text{M}$ گزارش شد [۱۵].

ژائو^۳ و همکارانش در سال ۱۹۹۸ از الکتروودهای اصلاح شده با DNA برای اندازه‌گیری ثابت اتصال و اندازه‌ی مکان اتصال $\text{Co}(\text{bpy})_3^{3+}$ با DNA استفاده کردند. ثابت اتصال و اندازه‌ی مکان اتصال به ترتیب $1157 \pm 13/5 \text{ M}^{-1}$ و $2/9$ به دست آمدند [۱۶].

در سال ۱۹۹۹ بررسی چگونگی برهم‌کنش DNA تثبیت شده روی سطح الکتروود با میتومایسین C^۴ کاهیده شده، در مقایسه با میتومایسین C فعال شده با اسید توسط مارین^۵ و همکارانش گزارش شد. فعالیت ضد سرطانی میتومایسین C با استفاده از ولتامتری عاری‌سازی و به وسیله الکتروود قطره‌ی جیوه‌ی آویزان اصلاح شده با DNA مورد بررسی قرار گرفت. فعال سازی میتومایسین با اسید و فعال سازی کاهشی آن با هم مقایسه شدند و محصولات متفاوت تولید شده نشان دادند که دارو می‌تواند با بیش از یک طریق به DNA متصل شود. تحت شرایط فعال سازی با اسید، یک محصول تک عاملی بین C-۱ میتومایسین و N-۷ گوانین

¹ - Brett
² - Metronidazole
³ - Zhao
⁴ - Mitomycin C
⁵ - Marin